

## 열간 압연 공정에서의 장력 제어 시스템

박성한\*, 안병준\*, 이만형\*\*

\*부산대학교 지능기계공학과, \*\*부산대학교 기계공학부

### TENSION CONTROL SYSTEM FOR HOT STRIP MILLS

Byoung Joon Ahn \*, Sung Han Park \*, and Man Hyung Lee\*\*

\*Dept. of Mechanical & Intelligent System Eng., Pusan National Univ. \*\*School of Mechanical Eng. Pusan National Univ.

**Abstract** - The looper control of hot strip finishing mill is one of the most important control item in hot strip rolling mill process. Loopers are placed between finishing mill stands and control the mass flow of the two stands. Another important action of the looper is to control the strip tension which influences on the width of the strip. So it is very important to control both the looper angle and the strip tension simultaneously but the looper angle and the strip tension are strongly interacted by each other. There are many control schemes such as conventional, non-interactive, LQ, LQG/LTR, and ILQ control in the looper control system. In this paper, we present the modeling for the looper of a hot strip finishing mill to control the tension of the strip and suggest the non-interactive(cross) and LQG/LTR control method.

### 1. 서 론

열간압연공정은 가열로에서 슬라브를 가열한 후 조압연기에서의 조압연과정, 사상압연기에서의 보다 정밀한 압연과정, 수냉과정 및 권리과정을 거쳐 최종 제품인 핫코일이 출하된다. 이러한 압연공정 중 품질에 제일 큰 영향을 미치는 사상압연에서는 두께, 스트립의 장력, 폭, 속도, 크라운등을 적정 기준치를 따라가도록 제어가 수행되고 있으며, 이를 제어 중 속도제어기와 루퍼제어기의 유기적인 제어를 통하여 사상압연중의 폭제어를 수행하고 있다. 그러나 선단부에서의 정확한 Massflow 일치의 어려움과 과장력 등으로 인하여 폭이 줄어드는 폭불량 현상이 종종 발생하고 있다. 사상압연기의 각 스텐드 사이에 위치한 루퍼는 압연 스텐드간 스트립에 적절한 일정 장력을 유지하여 판 폭과 판 두께의 변동이 없게 하고, 각 스텐드에서 발생하는 압연 현상을 분리시켜 판 두께제어의 효과를 높이는 역할을 한다. 특히, 스트립이 통판중일 때 생기는 과다한 장력이 스트립에 걸렸을 때나 루프(loop)의 발생시에 루퍼의 위치를 조정함으로써 장력 이상을 방지할 수 있어 조업의 안정성을 확보할 뿐만 아니라 제품의 고품질화에 기대할 수 있다.

종래의 루퍼제어는 스트립의 장력변동이 루퍼에 가해주는 토크로 인해 루퍼의 위치를 변화시키고 이 변화된 루퍼의 위치를 검출해서 루퍼의 위치와 스트립의 장력을 제어하는 충분치 못한 제어계로 되어있다. 이런 종래 제어계는 특히, 루퍼의 위치 또는 장력의 변화와 같은 동적 요소에 불안정하였다. 그리하여 보다 나은 루퍼제어를 위해 루퍼의 위치뿐 아니라 스텐드간의 장력 또한 검출하여 루퍼의 위치 제어기를 통한 루퍼 구동 토크제어, 장력제어기를 통한 스텐드 속도제어를 실시한다. 또한 제어기 설계에 앞서 압연 토크, 메인 모터, 루퍼시스템의 모델링을 수행한다.

### 2. 프로세서 모델

열간압연의 사상압연공정은 7개의 압연 스텐드와 압연 스텐드사이에 6개의 루퍼로 이루어져 있다. 각 스텐드의 워크 롤(Work Roll)은 속도제어기(ASR)로부터 속도 제어가 이루어지는 메인 모터로 구동되어지고, 루퍼는 2개의 인접한 압연 스텐드 사이에 설치되어 압연기의 속도 및 압하율의 변동에 기인한 압연재의 장력 변동을 완화시키기 위해 설치되어 있다. 즉, 루퍼의 설치요인은 양단 스텐드의 속도 편차에 의해서 발생된 스텐드간의 장력을 일정하게 유지시켜서 안정된 압연작업을 수행할 수 있게 하는 것이다.

#### 2.1 스트립 장력

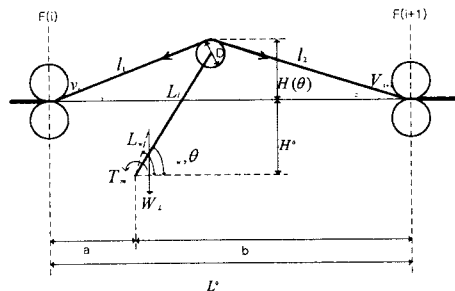


Fig. 1 Looper geometry

Fig. 1 은 7개의 스텐드중 임의의 두 스텐드를 묘사한 것으로 그 사이에는 루퍼가 위치하고 있으며, 스트립의 기하학적인 형태는 직선으로 근사화 되어져 있다. 여기서 스트립 장력을 탄성계수와 길이방향 신장률의 비례 관계로 주어지고, 스트립이 i단을 떠나는 속도( $v_i$ )와 i+1단으로 들어가는 속도( $V_{i+1}$ )의 차로 발생하는 양단의 Massflow 변동으로 장력이 발생하게 된다.

따라서, 장력  $t_f$ 는

$$t_f = \frac{E}{L_s} [L(\theta) - L_s] \quad (2.1)$$

여기서,

$$L_s = (L_0 + \int_{t_0}^t (v_i - V_{i+1}) d\tau) \quad (2.2)$$

$$L(\theta) = l_1 + l_2$$

$$l_1 = [(r - H_0 + L_1 \cdot \sin \theta)^2 + (a + L_1 \cdot \cos \theta)^2]^{\frac{1}{2}}$$

$$l_2 = [(r - H_0 + L_1 \cdot \sin \theta)^2 + (L_0 - a - L_1 \cdot \cos \theta)^2]^{\frac{1}{2}}$$

#### 2.2. 압연하중

Fig. 2는 두께 H인 스트립이 룰 사이로 들어와서 한쌍의 회전하는 룰들에 의해 h의 두께로 감소한다. 룰의 표면속도를  $V_r$ 이라 하면, 마치 유체가 좁은 통로를 흐를 때 점점 빨라지는 것처럼, 스트립의 속도는 룰 사이를

지나면서 점점 증가한다.

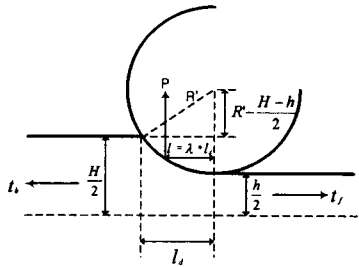


Fig. 2 Forces acting during rolling

스트립의 속도는 를 출구에서  $v^i$ 이다.  $V_r$ 은 일정하므로 를과 소재간에는 를 간격에서의 접촉 원호를 따라서 상대적인 미끄럼이 발생한다. 또한 이 Fig. 2에서는 압연 시 스트립의 압하로 인해 발생하는 변형된 를 반경( $R'$ )과 모멘트 팔을 보여주고 있다.

Fig. 2의 압하시 를과 압연하중, 장력과의 기하학적인 관계로부터 압연시 를 2개분에 걸리는 부하토크( $G$ )는 다음의 운동방정식로부터 구해진다.

$$T_m - G = J_e \ddot{\theta}_R \quad (2.3)$$

여기서,

$$G = 2 \cdot l \cdot P - R'(T_f - T_b) \quad (2.4)$$

$$R' = R \cdot (1 + \frac{C_R P}{b_m (H-h)}) \quad (2.5)$$

### 2.3. 루퍼모터 모델링

뉴턴의 제 2 법칙을 적용하기 위해 관성력  $J_m$ 을 가지는 루퍼모터에 대해 루퍼에 걸리는 부하를 고려한다.

$$J_m \ddot{\theta}_m = T_m - \frac{1}{G_r} \cdot T_{load} \quad (2.6)$$

여기서 루퍼모터에 걸리는 부하토크  $T_{load}$ 는

$$T_{load} = T_t + T_s + T_{LW} \quad (2.7)$$

여기서,

$$T_t = t_f \cdot w \cdot h \cdot [L_1 \cdot \cos \theta \cdot f_1(\theta) + (L_1 + \sin \theta + r) \cdot f_2(\theta)]$$

$$f_1(\theta) = (r + L_1 \cdot \sin \theta - y) \left( \frac{1}{l_1} + \frac{1}{l_2} \right)$$

$$f_2(\theta) = \left( \frac{L_0 - a - L_1 \cdot \cos \theta}{l_2} - \frac{a + L_1 \cdot \cos \theta}{l_2} \right)$$

$$T_s = L_1 \cdot g \cdot \rho \cdot w \cdot h \cdot (l_1 + l_2) \cdot \cos \theta$$

$$T_{LW} = L_1 \cdot g \cdot M_r \cdot \cos \theta + \frac{1}{2} \cdot g \cdot M_r \cdot \cos \theta$$

### 2.4. 선형화

제어기 설계를 위해 유도된 비선형 모델을 장력과 각도의 동작점( $8.6 \text{N/mm}, 15^\circ$ )에서 테일러 선형화를 수행하였다. 여기서 장력은 i단과 i+1단사이의 상대속도 차이에 의존한다. 그리고 i+1단의 를 속도는 일정하고, i+1단으로 들어가는 스트립의 속도는 장력에 의해 변하게 된다.

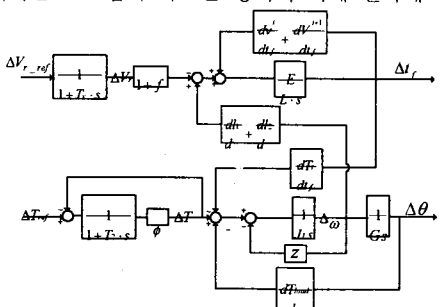


Fig. 3 Linearized looper system

Fig. 3에서  $K_{10} = \frac{dV^i}{dt_f} + \frac{dV^{i+1}}{dt_f}$ 로서  $V^i$ 는 장력과를

속도에 의한 변화,  $V^{i+1}$ 은 장력에 의한 변화만을 고려한다. 위 루퍼 시스템의 블록에서는 모든 변수들이 동작 점 근처에서 작은 변화량을 가짐에 따라 선형화를 수행 할 수가 있다.

선형화된 시스템의 상태공간 모델식은 다음과 같다.

$$\begin{aligned} \dot{x} &= Ax + Bu \\ y &= Cx \end{aligned} \quad (2.8)$$

여기서,

$$\begin{aligned} x &= [\Delta t_f, \Delta \theta, \Delta \omega, \Delta T_r, \Delta V_r]^T \\ y &= [\Delta t_f, \Delta \theta]^T \\ u &= [\Delta V_{ref}, \Delta T_{ref}]^T \\ A &= \begin{bmatrix} -\frac{EK_{10}}{L} & 0 & -\frac{EF_2}{L} & 0 & -\frac{E(1+\delta)}{L} \\ 0 & 0 & \frac{1}{GL} & 0 & 0 \\ -\frac{F_3}{J} & -\frac{F_1}{J} & -\frac{2}{J} & \frac{1}{J} & 0 \\ 0 & 0 & 0 & -\frac{(1+K_3\phi)}{T_2} & 0 \\ 0 & 0 & 0 & 0 & -\frac{1}{T_r} \end{bmatrix} \\ B &= \begin{bmatrix} 0 & 0 \\ 0 & 0 \\ 0 & \frac{(1+K_3\phi)}{T_2} \\ \frac{1}{T_r} & 0 \end{bmatrix}, C = \begin{bmatrix} 1 & 0 & 0 & 0 & 0 \\ 0 & 1 & 0 & 0 & 0 \end{bmatrix} \end{aligned}$$

$$F_1 = \frac{dT_{load}}{d\theta}, F_2 = \frac{dl_1}{d\theta} + \frac{dl_1}{d\theta}, F_3 = \frac{dT_t}{dt_f} \quad (2.9)$$

### 3. 제어기 설계

#### 3.1 종래 PI 제어

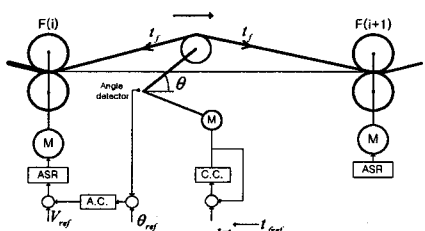


Fig. 4 Conventional looper control system

종래의 제어 방법은 밀의 속도를 제어하는 PI제어기로 루퍼각도를 목표각도와 장력을 제어하는 기법으로 설계되어 있다. 즉 장력을 제어하기 위해 필요한 장력의 측정치를 알 수 없기 때문에 각도를 케환하여 이 각도의 정보로부터 얻은 토크 계산 값을 이용해 루퍼모터의 토크 명령어로 사용한다. 이러한 이유로 인해 제어시스템은 장력과 루퍼 각도 사이의 상호간섭 현상을 일으키고, 이 간섭 현상은 루퍼 제어 시스템에 있어서 나쁜 응답을 가지도록 한다.

#### 3.2 Cross 제어

Cross 제어기법은 종래제어기법의 문제점인 장력과 루퍼 각도의 상호간섭을 줄이기 위하여 cross 게인을 추가하여 상호간섭효과를 줄이고, 각도와 계산된 장력값을 피드백하여 루퍼의 각도와 장력을 서로 독립적으로 제어를 수행한다.

이를 위해 Fig. 5의 블록 선도에서는 장력기준치와 장력 피드백 값을 사용하여 장력제어(LTC)를 PI방식으로

설계하고, 각도 보상량은 루퍼의 높이제어기(LHC)에서 PI방식으로 개별적으로 수행되어지고 있다.

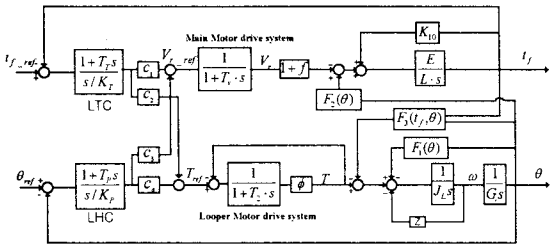


Fig.5 Block diagram of cross controller

또 간접 효과를 줄이기 위하여 cross gain을 추가하여 보상한다. 장력제어는 인접 스텐드의 압연 롤 속도 기준치(Vr)와 높이 제어에서 루퍼 토오크 기준치( $\tau_m$ )가 상호 밀접한 관련이 있지만, 장력 및 높이 제어기만으로는 토오크의 변화가 스템드간 장력으로, 롤 속도 변화가 루퍼 위치로 나타나는 외란을 피할 수 없다.

### 3.3 LQG/LTR 제어

LQG/LTR 설계방법을 적용하기 위해 적분요소를 첨가한 설계플랜트모델의 상태공간 모델식은 다음과 같다.

$$\begin{aligned} \dot{x}(t) &= Ax(t) + Bu(t) + Lw(t) \\ y(t) &= Cx(t) + v(t) \end{aligned} \quad (3.1)$$

여기서,

$$x(t) = \begin{bmatrix} u_p(t) \\ x_p(t) \end{bmatrix}, A = \begin{bmatrix} 0 & 0 \\ B_p & A_p \end{bmatrix}, B = \begin{bmatrix} K_p \\ 0 \end{bmatrix}, C = \begin{bmatrix} 0 & C_p \end{bmatrix}$$

LQG/LTR 설계절차는 다음과 같이 크게 두 단계로 이루어진다.

단계 1 : 요구되어지는 성능과 안정도 장인성을 만족하도록 목표필터루프(Target filter loop:TFL)를 설계한다.

$$G_F(s) = C\Phi(s)B, \quad \Phi(s) = (sI - A)^{-1} \quad (3.2)$$

여기서,

$$H = \frac{1}{\mu} PC^T \quad (3.3)$$

행렬 P는 필터 대수 Riccati식으로부터 구한다.

$$AP + PA^T + LL^T - \frac{1}{\mu} PC^TCP = 0 \quad (3.4)$$

$$L = \begin{bmatrix} -(C_p A_p^{-1} B_p)^{-1} \\ C_p^T (C_p C_p^T)^{-1} \end{bmatrix}$$

단계 2 : 루프전달회복(Loop transfer recovery:LTR) 절차를 통하여 시스템을 TFL로 회복시키는 보상기를 설계한다.

가중 행렬을 다음과 같이 설정하면,

$$Q = C^T C, R = \rho I \quad (3.5)$$

제어개인행렬 G는 다음과 같이 구해진다.

$$G = \frac{1}{\rho} B^T K \quad (3.6)$$

$$KA + A^T + C^T C - \frac{1}{\rho} KBB^T K = 0 \quad (3.7)$$

본 연구에서는  $\rho = 0.0000001$ 을 사용하였다.

## 4. 시뮬레이션 결과

설계된 제어기의 시간응답을 보기 위해 시뮬레이션 조건으로 대상 스템드를 5단으로 선정하고, 장력 기준치는  $8.6 N/mm^2$ , 루퍼 각도 기준치는  $18^\circ (0.3142\text{rad})$ 로 matlab을 이용한 시뮬레이션 결과들이 아래에서 보여지고 있다.

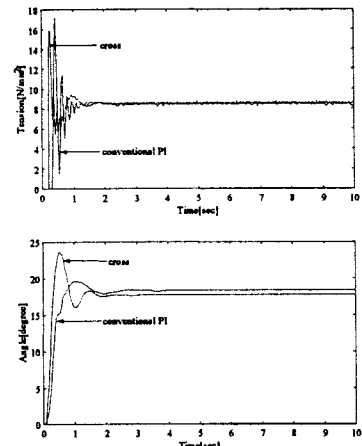


Fig.6 Conventional PI and cross control

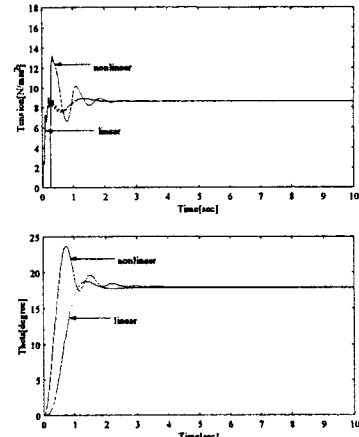


Fig.7 LQG/LTR control

## 5. 결론

본 연구에서는 열연 사상압연공정에서 압연판의 고정 밀 폭 제어를 수행하기 위하여 압연시 폭 불량 현상을 최소화하기 위한 모델링을 수행하였으며, 종래제어기법인 PI제어의 문제점을 개선하기 위해 장력 제어기와 루퍼의 높이제어기를 설계하였다. 또한 장력의 피드백값을 이용해 cross 제어와 LQG/LTR 제어기법을 루퍼 시스템에 적용하였다. 적용된 제어기법의 성능을 분석하기 위해 Matlab을 이용한 시뮬레이션을 통해서 종래 PI 기법보다 cross 제어기법 적용시 장력의 변동을 감소시켰으며, 반면에 각도의 변동은 보다 심하게 나타났다. LQG/LTR 제어에서는 앞의 두 제어기보다 장력의 변동을 현격히 줄여주었다.

## (참고문헌)

- [1] Yoshiharu Anbe, Kunio Seikiguchi and Hiroyuki I "Tension control of a hot strip mill finisher," IFAC Triennial World Congress, pp. 439-444, 1996.
- [2] H. Imanari, Y. Morimatsu, K. Sekiguchi, H. Ez Matuoka, A. Tokuda, and H. Otobe, "Looper H-i control for hot strip mills," IEEE Transactions on Industrial Applications, vol. 33, no. 4, pp. 790-796, May/June, 1997.
- [3] 박철환, 최승갑, 박병현, 이덕만, "열연공정에서 루퍼 안정화 위한연구," proceedings of the 13th KACC, pp. 1663-1668, October 1998.